



UKAN Weeder

Individuazione di piante infestanti tramite UKAN

Agricoltura di precisione

- Monitoraggio in **tempo reale** delle colture per razionare in modo dinamico le risorse quali acqua per l'irrigazione, pesticidi etc.
- Droni impiegati per l'ispezione di vaste aree coltivate: essi dispongono di risorse di **memoria limitate**

Il task su cui lavoriamo consiste nell'individuazione di piante infestanti nelle foto scattate dai droni, per sondare nel **minimo tempo** possibile le piantagioni e dosare il pesticida erogato a ciascuna area: precedentemente il lavoro che viene svolto da un drone il poche ore veniva effettuato nel giro di giorni o settimane da operai umani;

Il task

- Da un punto di vista tecnico il task consiste, quindi, nella **segmentazione semantica** a tre **classi esclusive** (background, crop, weed) dei pixel nelle immagini dei campi
- In questo ambito il Deep Learning si è rivelato più efficace rispetto a tecniche di machine learning classico quali Random Forest o SVM: in particolare è stata utilizzata con successo **U-Net** sulle immagini multispettrali del dataset Weedmap
- Risultati di ricerca dimostrano che modelli di Deep learning contenenti **strati KAN**, si rivelano vincenti nella segmentazione semantica di immagini per il **Remote Sensing** rispetto all'attuale stato dell'arte

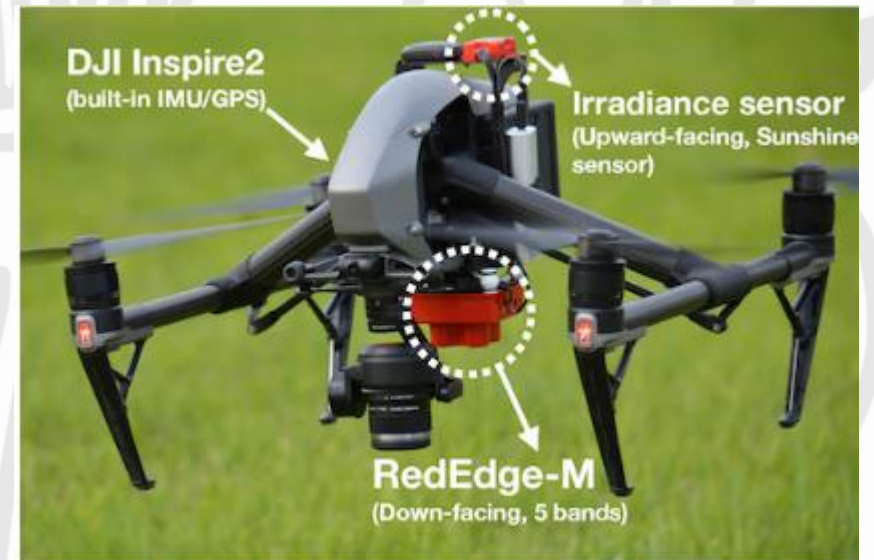
Dal momento in cui le immagini dei droni hanno caratteristiche simili a quelle satellitari l'obiettivo è capire se si possono ottenere dei buoni risultati anche nell'agricoltura di precisione utilizzando **strati KAN** in una **U-Net**.

A collection of stylized vegetable illustrations. The vegetables include a carrot with green leaves, a red tomato, a yellow corn cob with green husks, a purple eggplant, a yellow radish with green leaves, a green pea pod, a yellow onion, a purple beet with green leaves, a yellow potato, a green asparagus spear, and a red chili pepper. The word "Dataset" is centered over the illustrations.

Dataset

Weedmap

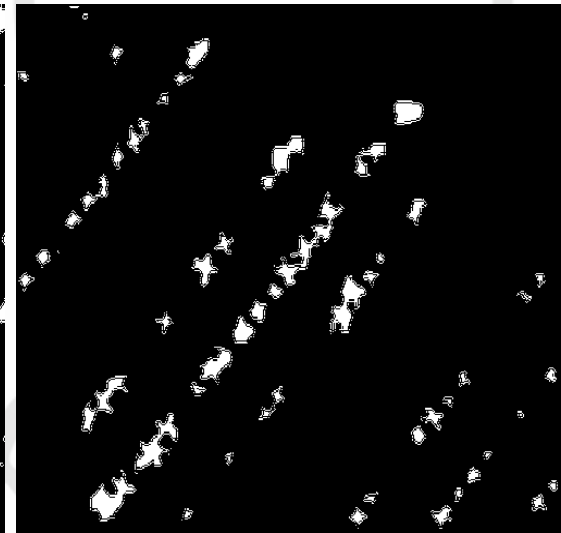
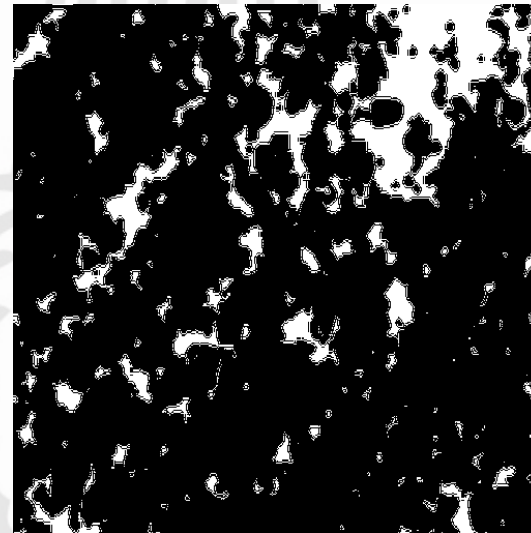
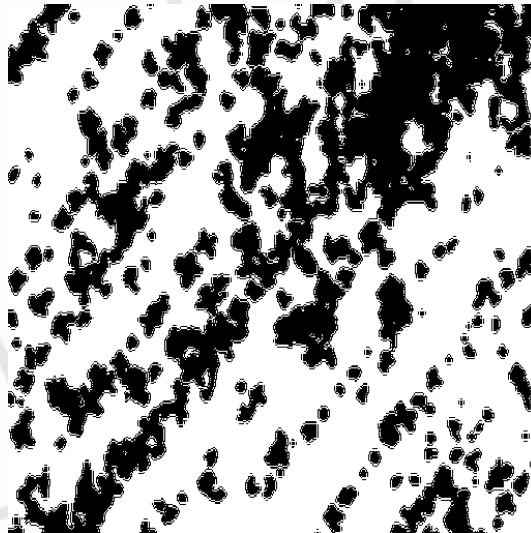
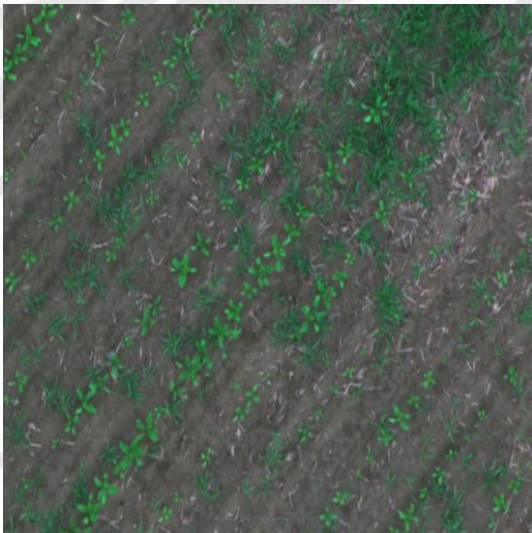
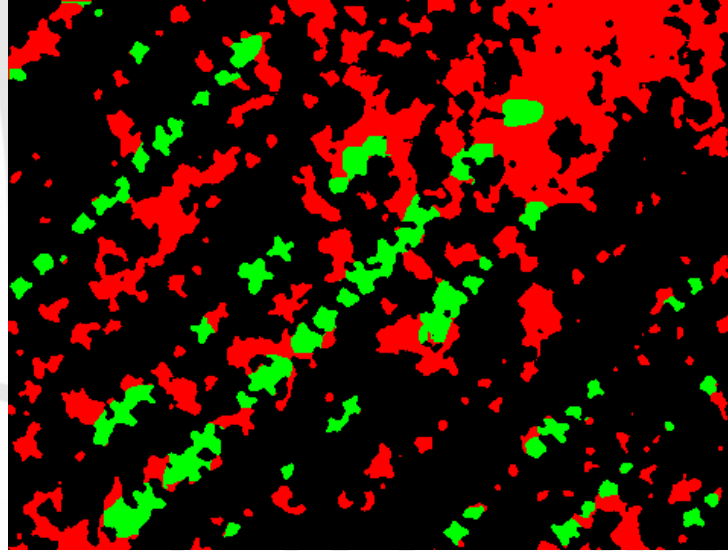
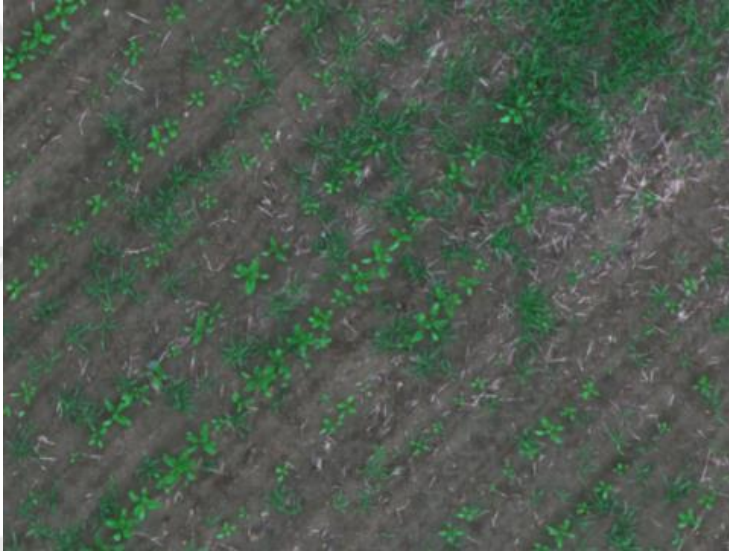
- Il dataset utilizzato nello studio è **Weedmap**: usato come **benchmark**, contiene immagini multispettrali di 8 campi coltivati in Svizzera e Germania, raccolte da due droni: RedEdge e Sequoia.
- Lo studio si focalizza, però, solo sui canali non multispettrali: si usano, quindi, solo i **canali RGB** forniti da **RedEdge**; questa fotocamera ha catturato solo immagini dei **primi quattro campi**, quindi si potrà lavorare solo su quelle



Preprocessing

- Per ogni campo mappa ortomosaica -> tiles 360 x 480 pixel -> per compatibilità con studi precedenti **resizing** delle tiles a 512 x 512 pixel
- Creazione **maschere per ogni classe** a partire dalla groundtruth per questioni di compatibilità con il framework utilizzato dal modello
- **Eliminazione foto con solo background** dal dataset di training (campi 000, 001, 002, 004) per limitare la sovrarappresentazione dei pixel di classe background

Preprocessing



A collection of stylized vegetable illustrations arranged around the central text. The vegetables include a carrot with green leaves, a yellow potato, a purple beet with green leaves, a red tomato, a yellow corn cob with green husks, a red eggplant, a yellow radish with green leaves, a green pea in a pod, and a yellow onion with green leaves. The word "Modello" is written in a bold, black, sans-serif font in the center of the image.

Modello

Modello scelto

- Il modello utilizzato per l'esperimento è UKAN: integrazione di **U-Net** con **strati KAN**
- La sua implementazione è disponibile al seguente link: <https://github.com/CUHK-AIM-Group/U-KAN>
- testato su dataset di **tipo medico** le performance si sono rivelate **migliori** rispetto alla tradizionale **U-Net**, persino ad un costo **computazionale** inferiore

UNeXt

- Nell'ambito della segmentazione semantica è già stato proposto il modello UNeXt: contiene negli ultimi strati dell'encoder e nei primi del decoder dei **blocchi MLP**
- in questo modo si può riuscire a catturare l'informazione **complessa** contenuta in **tutta la featuremap** estratta dall'encoder, a discapito di quella inerentemente spaziale; spazialità che a livelli di elaborazione molto avanzata è comunque meno presente

Da UNeXt a UKAN

- UKAN sostituisce i **blocchi MLP** con i **blocchi KAN** e ciò potrebbe indirizzare verso delle performance ulteriormente migliorative
- le reti KAN apprendono **non** i pesi di **combinazioni lineari**, che vengono poi attivate, ma **direttamente** di **funzioni** più **complesse**: intuitivamente ciò potrebbe conferire alla rete un potere espressivo maggiore
- l'intuizione viene confermata dal **teorema di Kolmogorov-Arnold**

Da UNeXt a UKAN: Kolmogorov-Arnold

Secondo il teorema di Kolmogorov-Arnold, una funzione continua multivariata può essere riscritta come combinazione di un numero finito di funzioni continue univariate secondo la seguente formula

$$f(x) = \sum_q \phi_q \left(\sum_p \psi_{pq}(x_p) \right)$$

le funzioni ϕ_q e ψ_{pq} sono **spline-functions** di cui vanno appresi i **parametri**, ma di solito $\phi_q = I$.

- Si tratta di un risultato teorico più confortante del teorema di approssimazione universale che sta alla base degli strati MLP: se uno strato KAN può in **potenza** imparare la **funzione esatta**, un MLP può solo **approssimarla**.

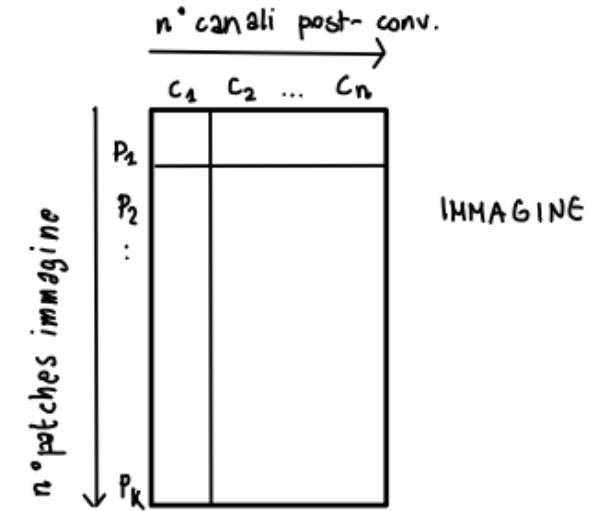
Architettura di UKAN

- Come U-Net: di tipo encoder-decoder del tutto **speculare** e con **skip-connections** tra i corrispondenti livelli di encoder e decoder
- Ogni **livello** dell'encoder **dimezza** altezza e larghezza della immagine, mentre i **canali risultanti** sono degli **iperparametri**
- per i **primi tre livelli**, che sono **convoluzionali**, si indica solo il numero di **canali** per il **primo livello**, gli altri due sono un quarto ed un ottavo di questo numero.
- Gli **ultimi due livelli** sono **Tokenized-KAN block** e sono composti da 3 moduli:
 - Modulo di Tokenizzazione: divide le immagini in token lineari, da poter passare ai layer KAN
 - Modulo KAN: formato da **tre layers** prende in input la matrice ricavata dalla tokenizzazione e la trasforma senza variarne però alcuna dimensione
 - altri due moduli che prendono in input le immagini **delinearizzate** e **non ne cambiano le dimensioni** (si tratta di una convoluzione depth-wise, una batch-normalization e l'attivazione tramite ReLU)

Modulo di Tokenizzazione

- **Convoluzione:**

- kernel = 3, dimensione di una patch/token
- Canali = iperparametro



- **Concatenazione** sulle righe, delle matrici provenienti dalle immagini del batch
- Per **delinearizzare** l'immagine vengono **conservate**:
 - altezza e larghezza delle immagini, dopo la convoluzione e prima della linearizzazione
 - dimensione del batch, prima della concatenazione

A collection of stylized, hand-drawn illustrations of various vegetables. In the top left is a green pea pod. Next to it is a yellow potato. To the right is a red tomato. Further right is a large orange carrot with green leafy tops. In the center is a purple beetroot with green leaves. Below the beetroot is a yellow radish with green leaves. To the left of the beetroot is a yellow corn cob with green husks. Below the corn is a red chili pepper. To the right of the chili is a green pea pod. In the bottom right is a yellow onion. The word "Sperimentazione" is written in a bold, black, sans-serif font across the middle of the image, overlapping the beetroot and radish.

Sperimentazione

Setup della sperimentazione

- le features estratte dal modello venivano utilizzate per task di classificazione multilabel; si è definita, invece, una **Cross Entropy**, funzione di perdita per classi esclusive
- Campi 000, 001, 002, 004 **training** set; 003 **test** set
- Parametri di addestramento di default:
 - Ottimizzatore **Adam**: $\beta_1 = 0.9$, $\beta_2 = 0.999$, $\lambda = 1e - 4$
 - **Cosine annealing**: learning rate che varia in funzione delle epoche in un intervallo predefinito
 - Strati **non KAN**: [1e-4 e 1e-5]
 - Strati **KAN**: [1e-2 e 1e-5]
 - 400 epoche
 - Batch size = 8
- Google Colab, GPU T4

Modelli confrontati

- Segformer **MiT-b0**:
 - Versione con **meno parametri** dato l'intento perseguito di fare segmentazione a basso costo computazionale
 - **Fine tuning** di 200 epoche, con batch size di 8, del modello preaddestrato di Hugging Face
- UKAN **3 configurazioni** di **iperparametri** 'input list':
 - Default [128, 160, 250]
 - Diminuire la complessità del modello, mantenendo le **potenze di 2** le **proporzioni** tra gli elementi della lista: [64, 80, 128], [32, 40, 64]

Metriche utilizzate

- Per l'**accuratezza** si è usata la **F1-score**, per questioni di **compatibilità** con studi precedentemente condotti sullo stesso topic: in effetti si tratta di una metrica resistente allo **sbilanciamento** tra classi
- La **complessità** è valutata in termini di tre diverse metriche riguardanti la **grandezza** del modello e le sue **tempistiche**:
 - Numero di **parametri**
 - Numero di **operazioni** svolte dal modello (in GMACs)
 - **Tempo** impiegato per svolgere la **predizione** (inference time)

Risultati

Tabella 1: Risultati sperimentazione

Metodo	F1-avg	F1			GMACs	Paramtetri (M)	Inference Time (ms)
		BG	Coltivazioni	Infestanti			
UKAN-128	71,5	99,4	55,7	59,3	7,07	6,36	18
UKAN-64	72,1	99,4	55,2	61,8	1,84	1,60	18
UKAN-32	33,1	99,3	0,0	0,0	/	/	/
Segformer (MiT-b0)	69,5	99,4	50,1	58,9	7,84	3,71	13

- Il **test set** = campo 003
- **Batch size** per l'**inferenza** era di 8 immagini

Risultati

- i modelli UKAN detengono le migliori performance in termini di **F1-score**:
 - UKAN-64 ha la migliore **accuratezza** e i migliori indicatori di **grandezza**: pare, infatti, essere il **compromesso** più adatto tra l'eccessiva complessità di UKAN-128 e l'underfitting di UKAN-32
 - Segformer ha **tempistiche** di inferenza di **pochi millesimi** migliori
- Il risultato si ritiene soddisfacente in quanto UKAN-64 risulta **più precisa e meno grande**, in termini di parametri ed operazioni, rispetto alla più leggera versione di SegFormer.

Future direzioni di ricerca

Dal momento in cui l'utilizzo di UKAN-64 pare essere una scelta vincente, future direzioni di ricerca potrebbero consistere nell'**integrazione** di tale architettura in modelli **non supervisionati**, come **Roweeder**.



Grazie